

FOLIEN VON D. GRAU ZUR
VORLESUNG "ELEKTRODYNAMIK
UND RELATIVITÄTSTHEORIE"
nach dem Skriptum von H. Nowotny

Kapitel 12

XII. 1. ElektrostatisikXII. 1. A. Feld- und Materialgleichungen.Grenzbedingungen

$$\begin{aligned} \text{FG:} \quad & \text{div } \vec{D}(r) = 4\pi \rho(r) \\ & \text{rot } \vec{E}(r) = \vec{0} \end{aligned} \quad (1)$$

$$\text{mit } \vec{D}(r) = \vec{E}(r) + 4\pi \vec{\rho}(r) \quad (2a)$$

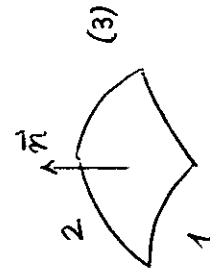
MG:
z.B. innerhalb eines Raumbereiches
mit homogenem isotropem Dielektrikum

$$\vec{\rho}(r) = \chi \vec{E}(r) \quad \text{bzw. } \vec{D}(r) = \epsilon \vec{E}(r) \quad (2b)$$

GB an der Grenzfläche zweierMaterialien:

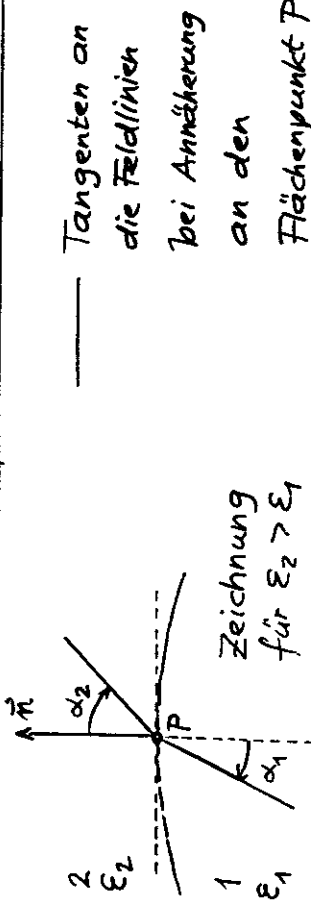
$$\begin{aligned} \text{Div } \vec{D} &\equiv \vec{n} \cdot (\vec{D}_2 - \vec{D}_1) = 4\pi \sigma \\ \text{Rot } \vec{E} &\equiv \vec{n} \times (\vec{E}_2 - \vec{E}_1) = \vec{0} \end{aligned}$$

$$\begin{aligned} \text{bzw. } D_{2,n} - D_{1,n} &= 4\pi \sigma \\ \vec{E}_{2,tg} - \vec{E}_{1,tg} &= \vec{0} \end{aligned}$$



σ freie Flächenladungsdichte

"Brechung der Feldlinien" für $\sigma = 0$ und Dielektrika



Tangenten an
die Feldlinien
bei Annäherung
an den
Flächenpunkt P

Zeichnung
für $\epsilon_2 > \epsilon_1$

$$D_{2,n} = D_{1,n} \Rightarrow \epsilon_2 E_2 \cos \alpha_2 = \epsilon_1 E_1 \cos \alpha_1$$

$$\vec{E}_{2,tg} = \vec{E}_{1,tg} \Rightarrow E_2 \sin \alpha_2 = E_1 \sin \alpha_1$$

$$\frac{\tan \alpha_2}{\epsilon_2} = \frac{\tan \alpha_1}{\epsilon_1} \quad (9)$$

$\epsilon_2 > \epsilon_1$ [$\epsilon_2 < \epsilon_1$] \Rightarrow "Brennung" der Richtung

von \vec{D} = Richtung von \vec{E}
vom Lot [zum Lot]

Bemerkung: Spricht man von "Brennung der Feldlinien", so muss man beachten, dass zwar die Feldlinien von \vec{D} alle "durch die Grenzfläche durchgehen", die Feldlinien von \vec{E} jedoch teilweise an der Grenzfläche (an Polarisationsflächenladungen) enden!

Potential

$$\operatorname{rot} \vec{E} = \vec{0} \Rightarrow \vec{E}(F) = -\operatorname{grad} \phi(F) \quad (4)$$

$$\boxed{\vec{E}(F) = -\operatorname{grad} \phi(F)}$$

FG für das Potential innerhalb eines
Raumbereiches mit homogener Materie:
*)

$$\Delta \phi(F) = -\frac{4\pi}{\epsilon} \rho(F) \text{ Poissongl.} \quad (5)$$

*) homogenes isotropes
Dielektrikum

Lösung:

$$\phi(F) = \frac{1}{\epsilon} \int d^3 r' \frac{\rho(F')}{|F - F'|} + \phi_{hom}(F) \quad (6)$$

betreffender Raumbereich mit homogener Materie

$\phi_{hom}(F)$ für Erfüllung der Grenzbedingungen

(zu anderer Materie oder zum Vakuum) benötigt.

XII.1. B. Lösungsmethoden

Potentialmethode

Bereits skizziert; Beispiel folgt

Bildladungsmethode – NICHT SO UNIVERSELL!

Eigentliches Problem durch Ersatzproblem mit fiktiven Bildladungen ersetzt; Beispiel folgt

Bemerkung "außer Konkurrenz":

XII-3'

XII. 1. C. Beispiel zur Bildladungsmethode XII-4

"Elementare Bildladungsmethode" (Bildladungen zu Punktladungen ebenfalls Punktladungen u.ä.)

auch nicht für solche Probleme anwendbar wie

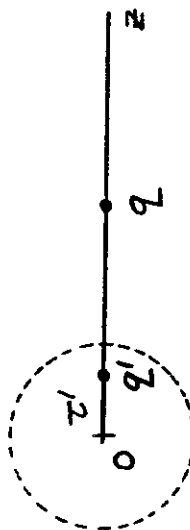
in Elektrostatik der Leiter.

Methode z.B. für dielektrische Kugel + Punktladung nicht zielführend

z.B. für Außenraumproblem bzgl. der Kugel:

dielektrische Kugel müsste durch

fiktive Punktladung + fiktive Linienladungsverteilung ersetzt werden



Dabei τ' überdies noch z -abhängig!
 $(\tau'(z) \propto z^{-\frac{E}{E+1}})$

Punktladung im Vakuum vor einem dielektrischen Halbraum

Eigentliches Problem:

Methode z.B. für dielektrische Kugel + Punktladung nicht zielführend

z.B. für Außenraumproblem bzgl. der Kugel:

dielektrische Kugel müsste durch

fiktive Punktladung + fiktive Linienladungsverteilung ersetzt werden

$\zeta > 0$: Vakuum

FG:

$\zeta < 0$: Vakuum

rot $\vec{E}(r) = \vec{0}$

FG: $\operatorname{div} \vec{D}(r) = 0$

und $\vec{E}(r) = \vec{0}$

MG: $\vec{D}(r) = \epsilon \vec{E}(r)$

FG + MG \Rightarrow FG für $\vec{E}(r)$: $\operatorname{div} \vec{E}(r) = 0 \Rightarrow \rho_p(r) = 0$

Dielektrikum $\operatorname{div} \vec{D}(r) = \epsilon \vec{E}(r)$

$= 4\pi \rho(r)$ und $\operatorname{div} \vec{E}(r) = 4\pi (\rho(r) + \rho_p(r))$,

woraus $\rho_p(r) = -\frac{\epsilon-1}{\epsilon} \rho(r)$ folgt. ●

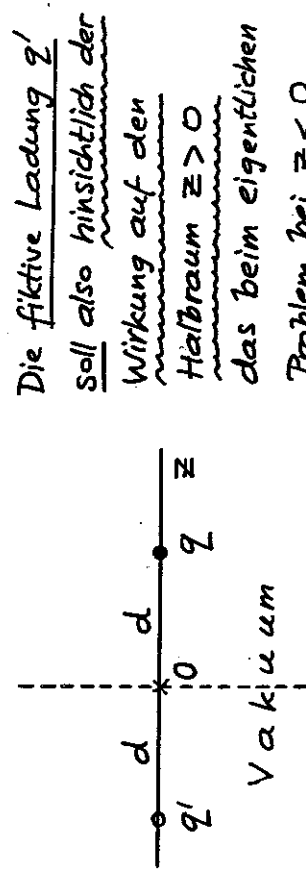
Asymptotische Bedingung:

$$\vec{E}(r) \xrightarrow[r \rightarrow +\infty]{} \vec{0}$$

Grenzbedingungen:

$$\operatorname{Div} \vec{D} = 0 \quad \text{für } \zeta = 0$$

$$\operatorname{Rot} \vec{E} = \vec{0} \quad \text{für } \zeta = 0$$

Ersatzproblem:2) für Ansatz für $\tilde{E}(r)$ im Raumbereich $z < 0$:1) für Ansatz für $\tilde{E}(r)$ im Raumbereich $z > 0$:

polarisierte !) Dielektrikum "vertreten".

$$\tilde{E}(r) = q \frac{\vec{r} - d\vec{\epsilon}_z}{|\vec{r} - d\vec{\epsilon}_z|^3} + q' \frac{\vec{r} + d\vec{\epsilon}_z}{|\vec{r} + d\vec{\epsilon}_z|^3} \text{ für } z > 0 \quad (1)$$

Ansatz erfüllt FG des eigentlichen Problems im Bereich $z > 0$:

$$\text{div } \tilde{E}(r) = 4\pi q \delta(x)\delta(y)\delta(z-d) \quad \checkmark$$

$$\text{rot } \tilde{E}(r) = \vec{0} \quad \checkmark$$

Ansatz erfüllt asymptotische Bedingung für $z > 0$ ✓Zu erfüllen bleiben lediglich noch die
Grenzbedingungen des eigentlichen Problems
⇒ Bestimmungsgleichungen für $q', \vec{\epsilon}$ in
Abhängigkeit von q, ϵ (falls kein Widerspruch!)*) man könnte auch ein einheitliches Medium mit ϵ nehmenDie fiktive Ladung q' Soll also hinsichtlich der
Wirkung auf den Halbraum
Vakuum $\epsilon = \infty$ die beim eigentlichen
Problem an dieser Stelle
befindliche Ladung q und
das bei $z < 0$ befindliche(durch q polarisierte) Dielektrikum "vertreten".

$$\tilde{E}(r) = q'' \frac{\vec{r} - d\vec{\epsilon}_z}{|\vec{r} - d\vec{\epsilon}_z|^3} \text{ für } z < 0 \quad (2)$$

Ansatz erfüllt FG + MG des eigentlichen Problems
im Bereich $z < 0$:

$$\text{div } \tilde{E}(r) = 0 \quad \checkmark$$

$$\text{rot } \tilde{E}(r) = \vec{0} \quad \checkmark$$

Ansatz erfüllt asymptotische Bedingung für $z < 0$. ✓

XII-7

$$\begin{aligned} z < 0 : \quad \vec{E}(r) &= q'' \frac{\vec{r} - d\vec{e}_z}{|r - d\vec{e}_z|^3} \\ z > 0 : \quad \vec{E}(r) &= q \frac{\vec{r} - d\vec{e}_z}{|r - d\vec{e}_z|^3} + q' \frac{\vec{r}' + d\vec{e}_z}{|\vec{r}' + d\vec{e}_z|^3} \end{aligned}$$

Grenzbedingungen:

$\text{Div } \vec{D} = 0$, d.h. Stetigkeit der Normalkomponente von \vec{D} für $z = 0$:

$$z=0 : \quad r' \mp d\vec{e}_z = \frac{x\vec{e}_x + y\vec{e}_y \mp d\vec{e}_z}{\sqrt{x^2 + y^2 + d^2}} \quad |r' \pm d\vec{e}_z| = \sqrt{x^2 + y^2 + d^2}$$

$$\frac{\epsilon q''}{(r^2 + d^2)^{3/2}} = q \frac{-d}{(r^2 + d^2)^{3/2}} + q' \frac{d}{(r^2 + d^2)^{3/2}}$$

$$\Rightarrow -\epsilon q'' = -q + q'$$

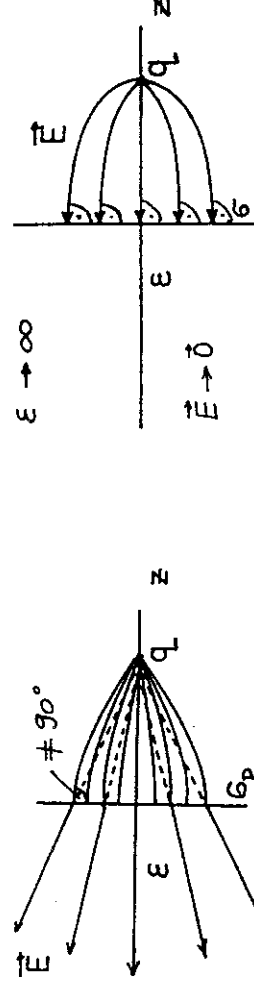
$\text{Rot } \vec{E} = \vec{0}$, d.h. Stetigkeit der Tangentialkomponente von \vec{E} für $z = 0$:

$$q'' \frac{x\vec{e}_x + y\vec{e}_y}{(r^2 + d^2)^{3/2}} = q \frac{x\vec{e}_x + y\vec{e}_y}{(r^2 + d^2)^{3/2}} + q' \frac{x\vec{e}_x + y\vec{e}_y}{(r^2 + d^2)^{3/2}}$$

$$\Rightarrow q'' = q + q' \quad \forall x, y$$

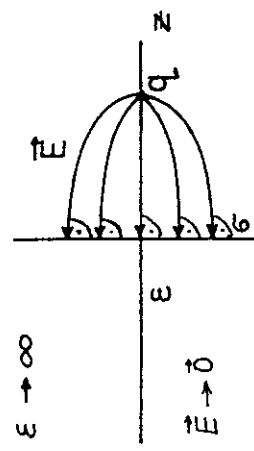
$$\Rightarrow q' = -q \frac{\epsilon - 1}{\epsilon + 1}, \quad q'' = q \frac{2}{\epsilon + 1} \quad (16)$$

Verlauf der \vec{E} -Feldlinien:



$$q' = -q \frac{\epsilon - 1}{\epsilon + 1}, \quad q'' = q \frac{2}{\epsilon + 1} \quad \text{---} < 1 \quad \text{XII-8}$$

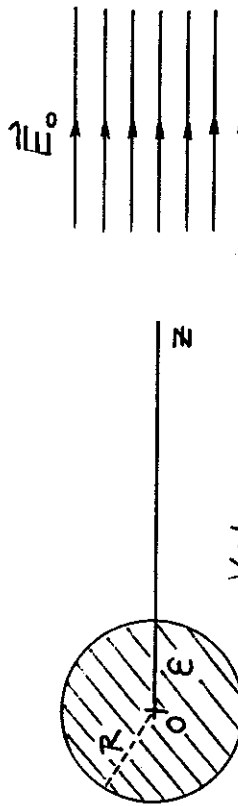
$$\underline{\epsilon \rightarrow \infty : \quad q' \rightarrow -2, \quad q'' \rightarrow 0}$$



$$\text{Selbst rechnen: 1) } \sigma_p(p) = P_z(p, 0) \quad (\text{d.i. } \sigma_p = -\text{Div } \vec{P})$$

2) Kraft auf Punktladung q

XII-1.D. Beispiel zur Potentialmethode:
Dielektrische Kugel in einem (ursprünglich) homogenen elektrostatischen Feld $\vec{E}_0 = E_0 \vec{e}_z$



$$\begin{aligned} \vec{E}' &= E_0 \vec{e}_z & \text{Vakuum} \\ \vec{E}' &= E_0 \vec{e}_z & \text{innerer Raum} \end{aligned}$$

asymptotische Bedingung für $\vec{E}(r)$:

$$\vec{E}(r) \xrightarrow[r \rightarrow +\infty]{} \vec{E}_0 = E_0 \vec{e}_z$$

axiale Symmetrie bzgl. z -Achse

Keine freien Ladungen im Endlichen \Rightarrow

XII-9

(additive Konstante willkürlich Null gesetzt)

Potential genügt für $r < R$ (Index i)
 und für $r > R$ (Index a) der Laplacegleichung:

$$r < R: \quad \phi(r, \vartheta, \varphi) \equiv \phi_i(r, \vartheta, \varphi)$$

Bemerkung: eigentlich überflüssig, da axiale Symmetrie •

$$\Delta \phi_i(r, \vartheta, \varphi) = 0 \quad (17)$$

$$\Rightarrow \phi_i(r, \vartheta, \varphi) = - \sum_{lm} b_{lm} r^l Y_{lm}(\vartheta, \varphi) \quad (18)$$

Bemerkung: Entwicklung nach $P_l(\cos \vartheta)$ würde genügen •

$$\text{Grenzbedingungen für } r=R: \quad \text{Dir } \vec{D}=0 \quad \Rightarrow \quad \epsilon \frac{\partial \phi_i}{\partial r} \Big|_R = \frac{\partial \phi_a}{\partial r} \Big|_R \quad (22a)$$

$$\text{Rot } \vec{E}=\vec{0} \quad \Rightarrow \quad \frac{\partial \phi_i}{\partial \vartheta} \Big|_R = \frac{\partial \phi_a}{\partial \vartheta} \Big|_R \quad (22b)$$

$$\frac{\partial \phi_i}{\partial \varphi} \Big|_R = \frac{\partial \phi_a}{\partial \varphi} \Big|_R \quad (22c)$$

$$\begin{aligned} \vec{E}_a(r) &= -\text{grad } \phi_a(r) \xrightarrow[r \rightarrow +\infty]{} E_0 \vec{e}_z = \text{grad}(E_0 z) & (20) \\ &= -\text{grad}(-E_0 r \cos \vartheta) \end{aligned}$$

$$\phi_a(r, \vartheta, \varphi) \underset{r \rightarrow +\infty}{\sim} -E_0 r \cos \vartheta$$

$$\phi_i \Big|_R = \phi_a \Big|_R$$

*1) Wegen (22a) darf $\frac{\partial \phi}{\partial r}$ für $r=R$ nur einen Sprung besitzen.

$$\phi_a(r, \vartheta, \varphi) = -\sqrt{\frac{4\pi}{3}} E_0 r Y_{10}(\vartheta, \varphi) + \sum_{lm} \frac{a_{lm}}{r^{l+1}} Y_{lm}(\vartheta) \quad (21)$$

Damit sind FG + MG + asymptotische Bdgl. berücksichtigt, es sind nur noch die Grenzbedingungen für $r=R$ zu erfüllen.

Beachte: Da es keine freien Ladungen im Endlichen gibt, geht ϵ nur über die Grenzbedingungen ein! •

$$\text{Grenzbedingungen für } r=R: \quad \text{Dir } \vec{D}=0 \quad \Rightarrow \quad \epsilon \frac{\partial \phi_i}{\partial r} \Big|_R = \frac{\partial \phi_a}{\partial r} \Big|_R \quad (22a)$$

$$\text{Rot } \vec{E}=\vec{0} \quad \Rightarrow \quad \frac{\partial \phi_i}{\partial \vartheta} \Big|_R = \frac{\partial \phi_a}{\partial \vartheta} \Big|_R \quad (22b)$$

$$\frac{\partial \phi_i}{\partial \varphi} \Big|_R = \frac{\partial \phi_a}{\partial \varphi} \Big|_R \quad (22c)$$

$$(22b) + (22c) \text{ kann man wegen } (22a)^{*1} \text{ durch} \quad (22d)$$

XII-11

$$\phi_i(r, \vartheta, \varphi) = - \sum_{lm} b_{lm} r^l Y_{lm}(\Omega)$$

$$\phi_a(R, \vartheta, \varphi) = - \sqrt{\frac{4\pi}{3}} E_0 r Y_{10}(\Omega) + \sum_{lm} \frac{a_{lm}}{r^{l+1}} Y_{lm}(\Omega)$$

$$-\sum_{lm} b_{lm} R^l Y_{lm}(\Omega) = -\sqrt{\frac{4\pi}{3}} E_0 R Y_{10}(\Omega)$$

$$+ \sum_{lm} \frac{a_{lm}}{R^{l+1}} Y_{lm}(\Omega)$$

$$\varepsilon \frac{\partial \phi_i}{\partial r} \Big|_R = \frac{\partial \phi_a}{\partial r} \Big|_R$$

$$-\varepsilon \sum_{lm} l b_{lm} R^{l-1} Y_{lm}(\Omega) = -\sqrt{\frac{4\pi}{3}} E_0 Y_{10}(\Omega)$$

$$- \sum_{lm} (l+1) \frac{a_{lm}}{R^{l+2}} Y_{lm}(\Omega)$$

Koeffizientenvergleich bei den $Y_{lm}(\Omega)$ gibt zwei Gln. für die a_{lm}, b_{lm} mit festem l, m :

s. Skriptum; Lösung:

$$a_{lm} = b_{lm} = 0 \quad \text{für } (l, m) \neq (1, 0) \quad (23b)$$

$$a_{10} = \frac{\varepsilon-1}{\varepsilon+2} R^3 \sqrt{\frac{4\pi}{3}} E_0, \quad b_{10} = \frac{3}{\varepsilon+2} \sqrt{\frac{4\pi}{3}} E_0 \quad (24b)$$

XII-12

Einsetzen gibt:

$$\boxed{\phi_i(r) = -\frac{3}{\varepsilon+2} E_0 r \cos \vartheta} \quad (25a-1)$$

$$\phi_a(r) = -E_0 r \cos \vartheta + \frac{\varepsilon-1}{\varepsilon+2} R^3 E_0 \frac{\cos \vartheta}{r^3} \tilde{E}_o \cdot \frac{\vec{r}}{r^3}$$

Mit

$$\boxed{\vec{p} = \frac{\varepsilon-1}{\varepsilon+2} R^3 E_0 \vec{e}_z = \frac{\varepsilon-1}{\varepsilon+2} R^3 \tilde{E}_o} \quad (25b)$$

gilt

$$\boxed{\phi_a(r) = -E_0 r \cos \vartheta + \frac{\vec{p} \cdot \vec{r}}{r^3}} \quad (25a-2)$$

$$\Rightarrow \boxed{\begin{aligned} \tilde{E}_i(r) &= \frac{3}{\varepsilon+2} \tilde{E}_o = \tilde{E}_o - \underbrace{\frac{\varepsilon-1}{\varepsilon+2} \tilde{E}_o}_{*)} \\ \tilde{E}_a(r) &= \tilde{E}_o + \underbrace{\frac{3(\vec{p} \cdot \vec{r}) \vec{r} - r^2 \vec{p}}{r^5}}_{*)} \end{aligned}}$$

*) verursacht von Polarisationsflächenladungen = dichte auf Kugeloberfläche

Nach außen wirkt die polarisierte dielektrische Kugel wie ein Punktdipol mit Moment \vec{p} im Kugelmittelpunkt.

$r < R$: Polarisation \vec{P}

$$\vec{D}_i(r) = \epsilon \vec{E}_i(r) = \vec{E}_i(r) + 4\pi \vec{P}(r)$$

$$\vec{P}(r) = \frac{\epsilon - 1}{4\pi} \vec{E}_i(r), \quad \vec{E}_i(r) = \frac{3}{\epsilon + 2} \vec{E}_0$$

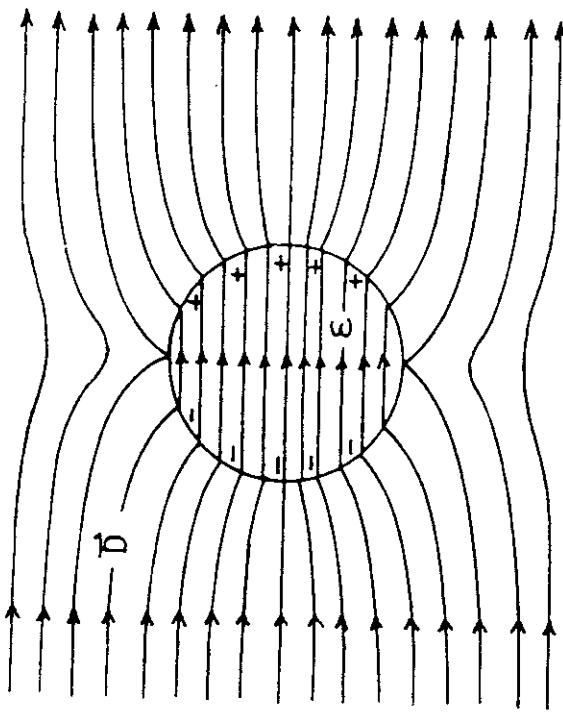
$$\Rightarrow \boxed{\vec{P}(r) = \frac{3}{4\pi} \frac{\epsilon - 1}{\epsilon + 2} \vec{E}_0}$$

$$\int_{\text{Kugel}} d^3 r \vec{P}(r) = \frac{\epsilon - 1}{\epsilon + 2} R^3 \vec{E}_0 = \vec{P}$$

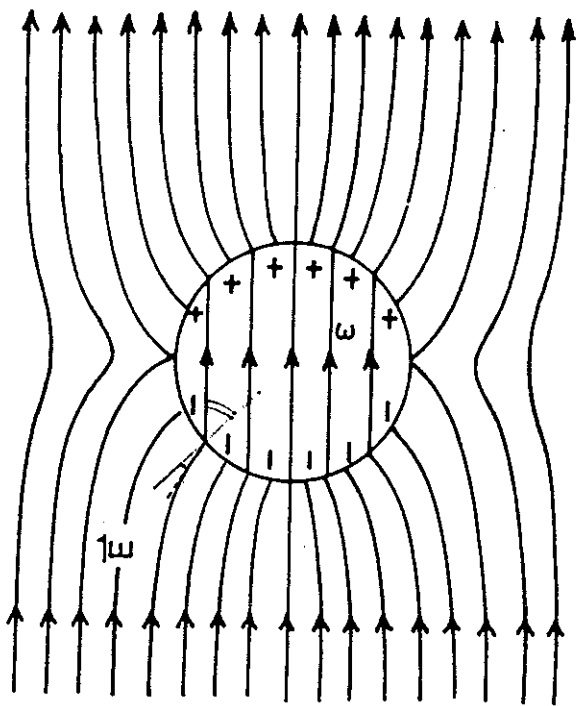
\vec{P} ist also das gesamte induzierte Dipolmoment der dielektrischen Kugel.

$$\underline{\underline{\rho_P(r)}} = - \nabla \cdot \vec{P}(r) = 0$$

$$\underline{\underline{\sigma_P(r)}} = - \text{Di} \circ \vec{P} = P_r(R, r) \quad \text{selbst ausrechnen!}$$



"Brechungsgesetz"
der Feldlinien!



XII-15

XII. 2. Dielektrika mit linearer Materialien
gleichung: elektrostatische Energie und
elektrostatische Kräfte

Dielektrum soll isotrop sein, kann aber
inhomogen sein:

$$\text{MG: } \vec{D}(\vec{r}) = \epsilon(\vec{r}) \vec{E}(\vec{r})$$

XII. 2. A. Elektrostatische Energie

(XII. 63): Ausdruck gilt auch für $\epsilon = \epsilon(\vec{r})$!

$$W = \frac{1}{8\pi} \int d^3r \vec{E}(\vec{r}) \cdot \vec{D}(\vec{r}) = \frac{1}{8\pi} \int d^3r \frac{\vec{D}(\vec{r})}{\epsilon(\vec{r})} \quad (26)$$

"Serviceleistung" für den nächsten Abschnitt:

Aenderung der Feldenergie bei einer kleinen

Virtuellen Änderung von $\rho(\vec{r})$ und $\epsilon(\vec{r})$

(z.B. bedingt durch eine virtuelle Verschiebung
des Dielektrikums)

$$\delta W = \frac{1}{8\pi} \int d^3r \delta \frac{\vec{D}}{\epsilon} = \frac{1}{8\pi} \int d^3r \left[\frac{2\vec{D} \cdot \delta \vec{D}}{\epsilon} - \frac{\vec{D}^2 \delta \epsilon}{\epsilon^2} \right]$$

$$\vec{E} \cdot \delta \vec{D} = -\text{grad} \phi \cdot \delta \vec{D} = -\vec{\nabla}(\phi \delta \vec{D}) + \phi \text{div} \delta \vec{D}$$

Ziel: $-\delta W$ auf die Form $-\delta W = \int d^3r \vec{\alpha}(\vec{r}) \cdot \vec{\delta S}(\vec{r})$
bringen $\Rightarrow \vec{f}(\vec{r}) = \vec{\alpha}(\vec{r})$ "ablesen":

$$-\delta W = -\int d^3r \phi(\vec{r}) \delta \rho(\vec{r}) + \frac{1}{8\pi} \int d^3r \vec{E}^2(\vec{r}) \delta \epsilon(\vec{r}) \quad (28)$$

XII. 2. B. Kraftdichte im Dielektrikum

Betrachtet wird eine ortsabhängige virtuelle
Verschiebung $\delta \vec{S}(\vec{r})$ der Materie, d.h. nicht
eine Verschiebung der Materie als stetes Ganzes.

Bilanz: $f(\vec{r})$ (gesuchte) Kraftdichte im Dielektrikum,
wenn abhängig von $\vec{E}(\vec{r})$, $\rho(\vec{r})$, $\epsilon(\vec{r})$, ...

$$\int d^3r \vec{f}(\vec{r}) \cdot \delta \vec{S}(\vec{r}) = -\delta W \quad (29)$$

Arbeit der Kraft
am Volumenelement
d³r bei der virtuellen

Verschiebung $\delta \vec{S}(\vec{r})$,

integriert über den
ganzem Raum ^{*1}=

vom Feld an der Materie
bei der virtuellen

Verschiebung insgesamt
geleistete Arbeit

$$2\vec{E} \cdot \delta \vec{D} - \vec{E}^2 \delta \epsilon$$

Ziel: $-\delta W$ auf die Form $-\delta W = \int d^3r \vec{\alpha}(\vec{r}) \cdot \vec{\delta S}(\vec{r})$

bringen $\Rightarrow \vec{f}(\vec{r}) = \vec{\alpha}(\vec{r})$ "ablesen":

Bemerkung: $\int d^3r \vec{f}(r) \cdot \delta \vec{s}(r) = -\delta W$

reicht nur dann zur eindeutigen Bestimmung von $\vec{f}(r)$ aus;

Wenn beliebige ortsabhängige Verschiebungen zugelassen werden. Bei ortsunabhängigem $\delta \vec{s}$

hätte man

$$\int d^3r [\vec{f}(r) + \text{grad } \psi(r)] \cdot \delta \vec{s}$$

$$= \int d^3r \vec{f}(r) \cdot \delta \vec{s} + \underbrace{\int d^3r \text{grad } \psi(r) \cdot \delta \vec{s}}$$

und man könnte nur die Gesamtkraft

$$\int d^3r \vec{f}(r)$$

für beliebiges außerhalb des Dielektrikums verschwindendes $\psi(r)$

Zusammenhang zwischen $\delta \rho(r)$ und $\delta \vec{s}(r)$:

$\Delta V \dots$ beliebiger raumfester Volumsbereich

$$-\int_{\Delta V} d^3r \delta \rho(r) = \oint_{F(\Delta V)} d^2\vec{r} \cdot \vec{p}(r) \delta \vec{s}(r) \quad (\text{Isolator!})$$

Abnahme der Ladung in ΔV

$$\Rightarrow \delta \rho(r) = -\text{div}(\vec{p}(r) \delta \vec{s}(r)) \quad (31)$$

Zusammenhang zwischen $\delta \epsilon(r)$ und $\delta \vec{s}(r)$:

Ein solcher Zusammenhang lässt sich nur unter der Annahme herstellen, dass ϵ eine eindeutige Funktion der Massendichte σ ist:

"dielektrische Zustandsgleichung" $\epsilon = \epsilon(\sigma)$
(z.B. Clausius-Mossotti Beziehung)

Dann folgt

$$\delta \epsilon(r) = \frac{d\epsilon}{d\sigma}(r) \delta \sigma(r) \quad (32a)$$

mit

$$\delta \sigma(r) = -\text{div}(\sigma(r) \delta \vec{s}(r)) \quad (32b)$$

$$\underline{\text{Zusammenfassung:}} \quad \int d^3r \vec{f}(\vec{r}) \cdot \delta \vec{s}(\vec{r}) = -\delta W$$

$$\begin{aligned}
 &= - \underbrace{\int d^3r \phi \delta \rho}_{-\operatorname{div}(\rho \delta \vec{s})} + \frac{1}{8\pi} \underbrace{\int d^3r \vec{E}^2 \delta \epsilon}_{-\frac{d\epsilon}{d\sigma} \operatorname{div}(\epsilon \delta \vec{s})} \\
 &= \underbrace{\int d^3r \phi \vec{\nabla}(\rho \delta \vec{s})}_{\vec{\nabla}(\phi \rho \delta \vec{s}) - \rho \delta \vec{s} \cdot \vec{\nabla} \phi} - \frac{1}{8\pi} \underbrace{\int d^3r \vec{E}^2 \frac{d\epsilon}{d\sigma} \vec{\nabla}(\epsilon \delta \vec{s})}_{\vec{\nabla}(\vec{E}^2 \frac{d\epsilon}{d\sigma} \epsilon \delta \vec{s}) - \epsilon \delta \vec{s} \cdot \vec{\nabla}(\vec{E}^2 \frac{d\epsilon}{d\sigma})} \\
 &= \int d^3r \left[\rho(\vec{r}) \vec{E}(\vec{r}) + \frac{\epsilon(\vec{r})}{8\pi} \vec{\nabla} \left(\vec{E}^2(\vec{r}) \frac{d\epsilon}{d\sigma}(\vec{r}) \right) \right] \cdot \delta \vec{s}(\vec{r}) \\
 &\quad \text{"ablesen": } \vec{f}(\vec{r}) \quad (33a) \\
 &\quad \text{2. Term:} \\
 &\quad \vec{\nabla} \epsilon(\vec{r}) \quad - \frac{1}{8\pi} \vec{E}^2(\vec{r}) \left(\frac{d\epsilon}{d\sigma}(\vec{r}) \vec{\nabla} \epsilon(\vec{r}) \right) + \frac{1}{8\pi} \vec{\nabla} \left(\vec{E}^2(\vec{r}) \frac{d\epsilon}{d\sigma}(\vec{r}) \epsilon(\vec{r}) \right)
 \end{aligned}$$

XII-19

$$\boxed{\vec{f}(\vec{r}) = \rho(\vec{r}) \vec{E}(\vec{r}) - \frac{1}{8\pi} \vec{E}^2(\vec{r}) \operatorname{grad} \epsilon(\vec{r}) + \frac{1}{8\pi} \operatorname{grad} \left(\vec{E}^2(\vec{r}) \frac{d\epsilon}{d\sigma}(\vec{r}) \epsilon(\vec{r}) \right)} \quad (33b)$$

(33b)

"erwartete" Kraftwirkung
auf die Wahren
Ladungen

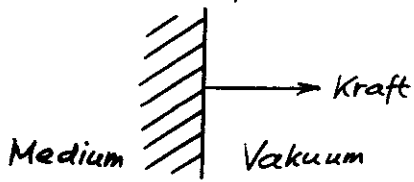
Wirksam, wo ϵ
räumlich variiert:

- 1) bei inhomogenem Medium
im Inneren und auf
Oberfläche
- 2) bei homogenem Medium
nur auf Oberfläche,
wo ϵ "springt"

trägt nichts zur Gesamtkraft

$$\int d^3r \vec{f}(\vec{r}) = \vec{F}$$

bei, da $\epsilon(\vec{r}) \equiv 0$ "außerhalb";
gibt Elektrostriktion
(Form- und Volumsänderung
im elektrostatischen Feld.)

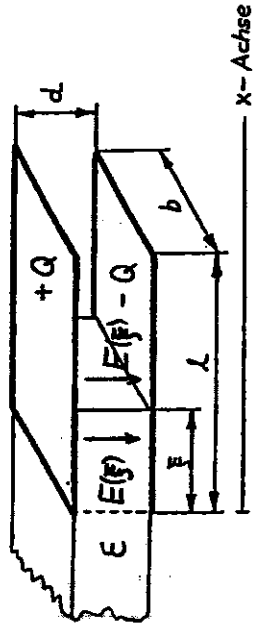


XII-20

Feldenergie: Energiedichte $\frac{1}{8\pi} \epsilon D$

$$W(\xi) = \frac{1}{8\pi} [\epsilon E^2(\xi) \xi bd + E^2(\xi) (\ell - \xi) bd]$$

$$W(\xi) = \frac{1}{8\pi} E^2(\xi) bd [\ell + (\epsilon - 1)\xi] \quad (35)$$



$$W(\xi) = \frac{1}{8\pi} 16\pi^2 Q^2 \frac{1}{b^2} \frac{1}{[\ell + (\epsilon - 1)\xi]^2} [\ell + (\epsilon - 1)\xi] bd$$

$$W(\xi) = 2\pi Q^2 \frac{d}{b} \frac{1}{\ell + (\epsilon - 1)\xi} \quad (36)$$

wird mit wachsendem ξ kleiner

Kraft auf das Dielektrikum: $F_x \delta \xi = -\delta W$, also

$$F_x(\xi) = -\frac{dW(\xi)}{d\xi} = 2\pi Q^2 \frac{d}{b} \frac{\epsilon - 1}{[\ell + (\epsilon - 1)\xi]^2} > 0 \quad (38)$$

wird mit wachsendem ξ kleiner ($\xi < \ell$)

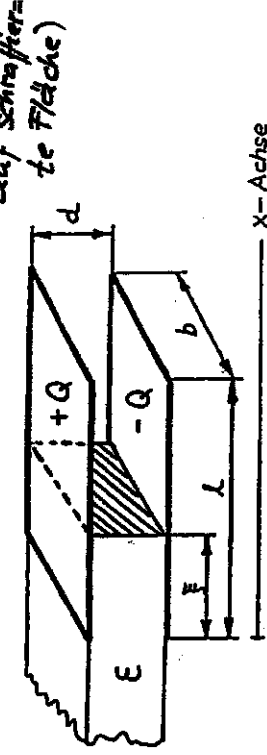
XIII-23

$$\text{XIII-24}$$

$$W(\xi) = b d \int_0^\xi f_x(x; \xi) dx$$

Nur Beitrag von Stelle ξ
(Feldschwerkraft auf schaffierte Fläche)

$$f_x(x; \xi) = -\frac{1}{8\pi} E^2(\xi) \frac{\partial \epsilon(x; \xi)}{\partial x}$$



$$\epsilon(x; \xi) = \epsilon \Theta(\xi - x) + \Theta(x - \xi)$$

$$\Rightarrow \frac{\partial \epsilon(x; \xi)}{\partial x} = -\epsilon \delta(\xi - x) + \delta(x - \xi) \quad (39)$$

$$f_x(x; \xi) = \frac{1}{8\pi} E^2(\xi) (\epsilon - 1) \delta(x - \xi)$$

$$F_x(\xi) = \frac{1}{8\pi} E^2(\xi) (\epsilon - 1) bd \quad (40)$$

$$E^2(\xi) = 16\pi^2 Q^2 \frac{1}{b^2} \frac{1}{[\ell + (\epsilon - 1)\xi]^2}$$

folgt wieder

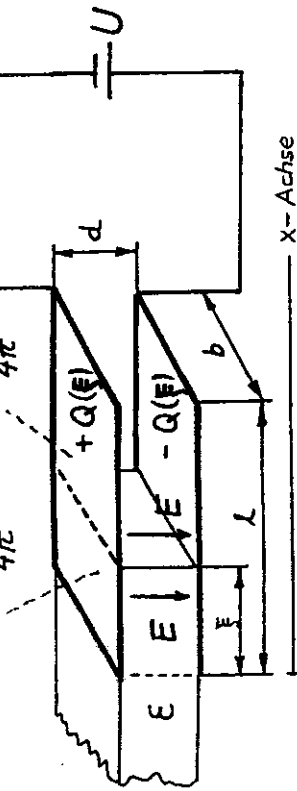
$$F_x(\xi) = 2\pi Q^2 \frac{d}{b} \frac{\epsilon - 1}{[\ell + (\epsilon - 1)\xi]^2} \quad \checkmark$$

Fall 2: Spannung U konstant halten

Kraft auf das Dielektrikum: Formel von Fall 1 Lw2

$$\Rightarrow E = \frac{U}{d} \quad \text{ändert sich mit wachsendem } \xi \text{ nicht}$$

$$\sigma' = \frac{\epsilon E}{4\pi} \quad \sigma = \frac{E}{4\pi}$$



$$Q(\xi) = \frac{1}{4\pi} E b [\ell + (\epsilon-1)\xi] = \frac{1}{4\pi} U \frac{b}{d} [\ell + (\epsilon-1)\xi] \quad (43)$$

nimmt mit wachsendem ξ zu, d.h. Batterie "liefert"

Ladung "nach"

Verschiebung um $\delta\xi$:

Ladung erhöht sich um

$$\delta Q = \frac{1}{4\pi} U \frac{b}{d} (\epsilon-1) \delta\xi \Rightarrow$$

Batterie führt die Energie

$$\delta E_B = U \delta Q = \frac{1}{4\pi} U^2 \frac{b}{d} (\epsilon-1) \delta\xi$$

zu

Feldenergie:

$$W(\xi) = \frac{1}{8\pi} E^2 b d [\ell + (\epsilon-1)\xi] = \frac{1}{8\pi} U^2 \frac{b}{d} [\ell + (\epsilon-1)\xi] \quad (44)$$

Wird mit wachsendem ξ größer!

$$F_x = \frac{1}{8\pi} E^2 (\epsilon-1) bd = \frac{1}{8\pi} U^2 \frac{b}{d} (\epsilon-1)$$

bleibt bei wachsendem ξ unverändert

Beachte: HIER

$$F_x = + \frac{dW(\xi)}{d\xi}$$

Verschiebung um $\delta\xi$:

$$\delta E_B = \frac{1}{8\pi} U^2 \frac{b}{d} (\epsilon-1) \delta\xi$$

Feldenergie $W(\xi) = \frac{1}{8\pi} U^2 \frac{b}{d} [\ell + (\epsilon-1)\xi]$ erhöht sich um

$$\delta W = \frac{1}{8\pi} U^2 \frac{b}{d} (\epsilon-1) \delta\xi = \frac{1}{2} \delta E_B$$

und am Dielektrikum wird die Arbeit

$$\delta A = F_x \delta\xi = \frac{1}{8\pi} U^2 \frac{b}{d} (\epsilon-1) \delta\xi = \frac{1}{2} \delta E_B$$

(gegen eine das Dielektrikum im Gleichgewicht haltende Kraft, z.B. Feder) geleistet

XII. 3. Magnetostatik

XII - 27

XII. 3. A. Feld- und Materialgleichungen.

Grenzbedingungen

FG:

$$\operatorname{div} \vec{B}(r) = 0$$

$$\operatorname{rot} \vec{H}(r) = \frac{4\pi}{\epsilon} \vec{j}$$

mit $\vec{H}(r) = \vec{B}(r) - 4\pi \vec{M}(r)$

MG:
z.B. innerhalb eines Raumbereiches mit
homogenem isotropen Dia- oder Para-
magnetikum.

$$\vec{M}(r) = \chi_m \vec{H}(r) \text{ bzw. } \vec{M}(r) = \chi_m \vec{B}(r)$$

$$\vec{H}(r) = \frac{1}{\mu} \vec{B}(r)$$

GB an der Grenzfläche zweier Materialien:

$$\operatorname{Div} \vec{B} \equiv \vec{n} \cdot (\vec{B}_2 - \vec{B}_1) = 0$$

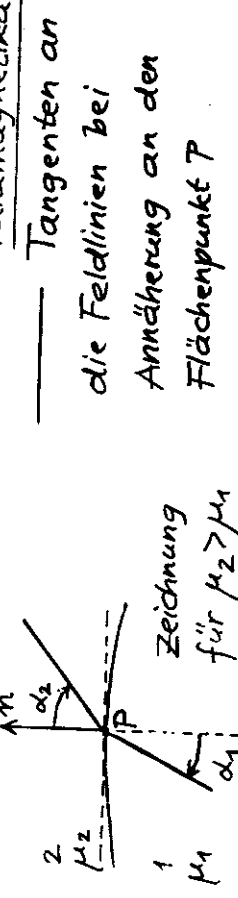
$$\operatorname{Rot} \vec{H} \equiv \vec{n} \times (\vec{H}_2 - \vec{H}_1) = \frac{4\pi}{\epsilon} \vec{k}$$

bzw. $B_{2,n} - B_{1,n} = 0$

$$\vec{H}_{2,tg} - \vec{H}_{1,tg} = \frac{4\pi}{\epsilon} \vec{k} \times \vec{n}$$

XII - 28

"Brechung der Feldlinien" für $\vec{k} \equiv \vec{0}$ und Dia- bzw. Paramagnetika



(45)

$$B_{2,n} = B_{1,n} \Rightarrow B_2 \cos \alpha_2 = B_1 \cos \alpha_1 \quad (52)$$

$$\vec{H}_{2,tg} = \vec{H}_{1,tg} \Rightarrow \frac{1}{\mu_2} B_2 \sin \alpha_2 = \frac{1}{\mu_1} B_1 \sin \alpha_1$$

$$\frac{\tan \alpha_2}{\mu_2} = \frac{\tan \alpha_1}{\mu_1} \quad (53)$$

Kommentar analog wie bei Dielektrika.

Vektorpotential

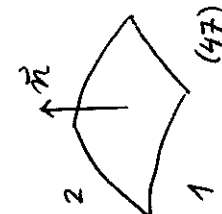
$$\operatorname{div} \vec{B}(r) = 0 \Rightarrow \boxed{\vec{B}(r) = \operatorname{rot} \vec{A}(r)} \quad (48)$$

FG für das Vektorpotential innerhalb eines Raumbereiches mit homogener Materie:

$$\Delta \vec{A}(r) = - \frac{4\pi}{\epsilon} \mu \vec{j}(r) \quad (49a)$$

*1 homogenes isotropes Dia- oder Paramagnetikum

Beachte: Auf der "Ebene der Potentiale" hat man $\epsilon \rightarrow \frac{1}{\mu}$.



\vec{k} freie
Flächenstrom=
dichte

(47)

Lösung

XII-29

$$\Delta \vec{A}_{hom}(r) = \vec{0} \quad (51)$$

$$\vec{A}(r) = \frac{\mu_0}{\nu} \int d^3 r' \frac{\vec{j}(r')}{|r-r'|} + \vec{A}'_{hom}(r) \quad (50)$$

betreffender Raumbereich mit homogener Materie

$\vec{A}_{hom}(r)$ für Erfüllung der Grenzbedingungen
(zu anderer Materie oder zum Vakuum) benötigt.

XII. 3. B. Lösungsmethoden

Methode der direkten Integration der

FG für \vec{H}, \vec{B} unter Berücksichtigung der HG

Integrale Form der FG $\text{rot } \vec{H} = \frac{4\pi}{\kappa} \vec{j}$
(Stokescher Satz); anwendbar bei hoher
Symmetrie (z.B. unendlich langer Strom =
durchflossener kreiszylindrischer Leiter)

Vektorpotentialmethode

Bereits skizziert.

Methode des skalaren magnetischen Potentials

Sind im Endlichen keine freien Strome vorhanden
(Beispiel: dia- oder paramagnetischer Körper

XII-30
in einem [von freien Stremen im Unendlichen verursachten] [ursprünglich] homogenen Feld \vec{B}_0),

so gilt $\text{rot } \vec{H}(r) = \vec{0}$ und man kann ein magnetisches skalares Potential einführen:

$$\vec{H}(r) = -\text{grad } \phi_M(r) \quad (54)$$

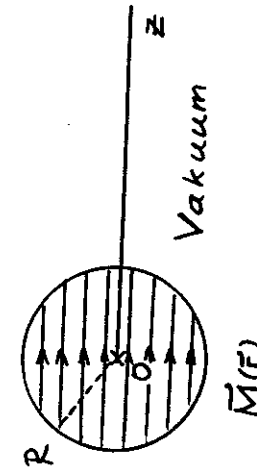
Bildstrommethode – NUR IN SONDERFÄLLEN ANWENDBAR

Eigentliches Problem durch Ersatzproblem mit fiktiven Stremen ersetzt.

XII. 3. C. Homogen magnetisierte Kugel

Vorgegeben

$$\vec{M}(r) = \begin{cases} M \vec{e}_z & \text{für } r < R \\ 0 & \text{für } r > R \end{cases} \quad (55)$$



axiale Symmetrie
bzgl. z-Achse

$M(r)$

Gefragt: Das von dieser magnetisierten Kugel für $r < R$ und $r > R$ verursachte Magnetfeld.

Kommentar: Was haben wir uns physikalisch vorzustellen?

XII-32 lassen sich auch die vorhandenen Gesamtfelder durch \vec{B}_o und μ ausdrücken.

Mehrere Möglichkeiten:

Fall 1: Kugel ist Permanentmagnet

Die MG $\vec{H} = \frac{1}{\mu} \vec{B}$ gilt dann nicht.

Die im folgenden berechneten Felder sind die vorhandenen Gesamtfelder, da es keine weiteren "Feldverursacher" gibt (auch nicht im Unendlichen).

Fall 2: Dia- oder paramagnetische Kugel in äußerem Magnetfeld

Es gilt die MG $\vec{H} = \frac{1}{\mu} \vec{B}$.

Die im folgenden berechneten Felder sind nicht die vorhandenen Gesamtfelder. Die Kugel kann nur dann eine Magnetisierung $\vec{M} \neq \vec{0}$ besitzen,

wenn sie in ein (ursprünglich) homogenes Außenfeld $\vec{B}_o = B_o \vec{e}_z$ gebracht wurde.

Zu dem im folgenden berechneten \vec{B} -Feld

(verursacht von der magnetisierten Kugel) ist daher \vec{B}_o (verursacht von freien Stromen im Unendlichen) zu addieren (FG linear!).

Ferner muss die durch \vec{B}_o induzierte Magnetisierung durch \vec{B}_o und μ ausgedrückt werden können ($H = \vec{0}$ für $\vec{B}_o = \vec{0}$). Damit

$$\Delta \phi_{Mi}(r) = 0 \quad (59)$$

$$\Rightarrow \vec{H}_i(r) = -\nabla \phi_{Mi}(r) \quad (56)$$

$$\text{div } \vec{H}_i(r) = -\Delta \phi_{Mi}(r) = \text{div } \vec{B}_i(r) - 4\pi \text{div } \vec{\chi} \quad (56)$$

FG: 0

da homogen magnetisiert

XII-31

lassen sich auch die vorhandenen Gesamtfelder durch \vec{B}_o und μ ausdrücken.

Fall 2: Beispiel in Abschnitt XII. 3. D fortgesetzt.

Fall 3: Ferromagnetische Kugel in äußerem Magnetfeld

Die MG $\vec{H} = \frac{1}{\mu} \vec{B}$ gilt nicht, sie ist durch einen nicht/linearen Zusammenhang zu ersetzen.

Ansonst ist alles weitgehend analog wie im Fall 2, doch kann eine Restmagnetisierung nach "Ausschalten" (Zurücknehmen) des äußeren Magnetfeldes \vec{B}_o zurückbleiben, womit man beim Fall 1 ist.

Fall 3: Beispiel in Abschnitt XII. 3. D fortgesetzt.

Berechnung des von der homogen magnetisierten Kugel verursachten Feldes

$$r < R : \text{FG} \quad \text{div } \vec{B}_i(r) = 0$$

$$\vec{H}_i(r) = \vec{B}_i(r) - 4\pi \vec{\chi} \quad (56)$$

$$\text{rot } \vec{H}_i(r) = \vec{0}$$

$$\Delta \phi_{Mi}(\vec{r}) = 0$$

XII - 33

XII - 34

Ansatz (gedankliche "Anleihe" bei XII. 1.D):

$$\phi_{Mi}(\vec{r}) = b \frac{r \cos \vartheta}{z}$$

$r > R$: FG

$$\text{div } \vec{B}_a(\vec{r}) = 0$$

$$\text{rot } \vec{B}_a(\vec{r}) = \vec{0}$$

$$\Rightarrow \vec{B}_a(\vec{r}) = -\text{grad } \phi_{Ma}(\vec{r}) \quad (60a)$$

$$\Delta \phi_{Ma}(\vec{r}) = 0 \quad (59)$$

Ansatz (gedankliche "Anleihe" bei XII. 1.D):

$$\phi_{Ma}(\vec{r}) = \frac{\alpha}{r^2} \cos \vartheta = \alpha \frac{z}{r^3} \quad (60b)$$

asymptotische Bedingung:

$$\vec{B}_a(\vec{r}) \xrightarrow[r \rightarrow +\infty]{} \vec{0} \quad \checkmark$$

Grenzbedingungen für $r=R$:

$$\text{Div } \vec{B} = 0 \Rightarrow B_{ir} = B_{ar}, \quad (61a)$$

$$\begin{aligned} H_{ir} + 4\pi M_r &= B_{ar}, \\ -\frac{\partial \phi_{Mi}}{\partial r} \Big|_R + 4\pi M \cos \vartheta &= -\frac{\partial \phi_{Ma}}{\partial r} \Big|_R \end{aligned}$$

$$\text{Rot } \vec{H} = \vec{0} \Rightarrow H_{i,\theta} = B_{a,\theta}$$

$$(H_{i,\theta} = B_{a,\theta})$$

Bemerkung:

Gleichwertig:

$$(61a) \text{ plus} \quad -\frac{\partial \phi_{Mi}}{\partial z} \Big|_R = -\frac{\partial \phi_{Ma}}{\partial z} \Big|_R \quad (61b)$$

$$\phi_{Mi}(R, \theta) = \phi_{Ma}(R, \theta) \bullet$$

$$\phi_{Mi}(\vec{r}) = br \cos \vartheta, \quad \phi_{Ma}(\vec{r}) = \frac{\alpha}{r^2} \cos \vartheta$$

$$\begin{aligned} -\frac{\partial \phi_{Mi}}{\partial r} \Big|_R + 4\pi M \cos \vartheta &= -\frac{\partial \phi_{Ma}}{\partial r} \Big|_R \\ -\frac{\partial \phi_{Mi}}{\partial z} \Big|_R &= -\frac{\partial \phi_{Ma}}{\partial z} \Big|_R \end{aligned}$$

$$\Rightarrow -b \cos \vartheta + 4\pi M \cos \vartheta = \frac{\alpha}{R^3} \cos \vartheta$$

$$\begin{aligned} b R \cos \vartheta &= \frac{\alpha}{R^2} \cos \vartheta \\ \Rightarrow \alpha &= \frac{4\pi R^3}{3} M, \quad b = \frac{4\pi}{3} M \end{aligned} \quad (62a)$$

$$(62b)$$

$$\boxed{\phi_{Mi}(\vec{r}) = \frac{4\pi}{3} M r \cos \vartheta} \quad \boxed{\phi_{Ma}(\vec{r}) = \frac{4\pi R^3}{3} \frac{M \cos \vartheta}{r^2}} \quad \boxed{\vec{m} := \frac{4\pi R^3}{3} \vec{M} \frac{\cos \vartheta}{r^3}}$$

$$\text{bzw. mit gesamtes magnetisches Dipolmoment der Kugel}$$

$$\boxed{\phi_{Ma}(\vec{r}) = -\frac{\partial \phi_{Ma}}{\partial r} \Big|_R} \quad (63b)$$

$$\boxed{\phi_{Mi}(\vec{r}) = \frac{\partial \phi_{Mi}}{\partial r} \Big|_R} \quad (63a-2)$$

$$\phi_{Mi}(r) = \frac{4\pi}{3} Mr \cos \vartheta$$

XII-35

$$H_i(r) = -\operatorname{grad} \phi_{Mi}(r) = -\frac{4\pi}{3} M$$

$$\vec{B}_i(r) = H_i(r) + 4\pi \vec{H} = +\frac{8\pi}{3} M$$

$$\vec{H}_i = -\frac{4\pi}{3} M \quad \vec{B}_i = \frac{8\pi}{3} M$$

$$\text{homogen} \quad (64)$$

$$\phi_{Ma}(r) = \frac{\vec{m} \cdot \vec{r}}{r^3}$$

$$\vec{B}_a(r) = \frac{3(\vec{m} \cdot \vec{r}) \vec{r} - r^2 \vec{m}}{r^5}$$

Dipolfeld

$$\vec{J}_M(r) = c \operatorname{rot} \vec{M}(r) = \vec{0}$$

$$\vec{k}_M(s) = c \operatorname{rot} \vec{M} = -c (\vec{r} \times \vec{M}) \Big|_R \quad \begin{matrix} \text{selbst} \\ \text{ausrechnen!} \end{matrix}$$

XII. 3. D. Dia-, para- oder ferromagnetische

Kugel in einem (ursprünglich) homogenen

$$\text{magnetostatischen Feld } \vec{B}_o = B_o \vec{e}_z$$

Das (von freien Strömen im Unendlichen verursachte) Feld $\vec{B}_o = B_o \vec{e}_z$ "induziert" in einer magnetisierten Kugel eine Magnetisierung $\vec{M}(r) = M \vec{e}_z$.

(S. die analoge elektrostatische Problemstellung in Abschnitt XII. 1. D.): $\vec{M}[\vec{B}_o]$

Der Zusammenhang zwischen \vec{M} und \vec{B}_o ist natürlich für ein Ferromagnetikum ein anderer als für ein Dia- oder Paramagnetikum; s. später

Gemeinsam gilt:

XII. 3. D. Dia-, para- oder ferromagnetische

Kugel in einem (ursprünglich) homogenen

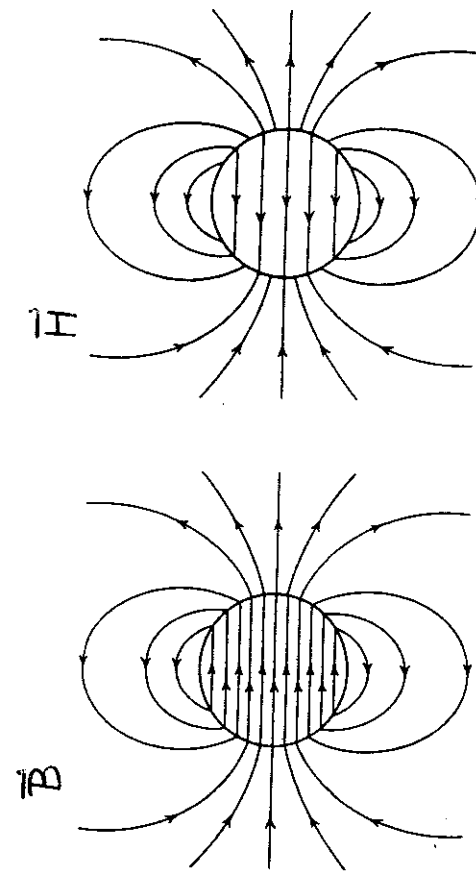
$$\text{magnetostatischen Feld } \vec{B}_o = B_o \vec{e}_z$$

Das (von freien Strömen im Unendlichen verursachte) Feld $\vec{B}_o = B_o \vec{e}_z$ "induziert" in einer magnetisierten

Kugel eine Magnetisierung $\vec{M}(r) = M \vec{e}_z$.

(S. die analoge elektrostatische Problemstellung in Abschnitt XII. 1. D.): $\vec{M}[\vec{B}_o]$

Der Zusammenhang zwischen \vec{M} und \vec{B}_o ist natürlich für ein Ferromagnetikum ein anderer als für ein Dia- oder Paramagnetikum; s. später



$$\operatorname{rot} \vec{B} = \frac{4\pi}{c} \vec{k}_M(s) \quad \operatorname{div} \vec{H} = -4\pi \operatorname{Dio} \vec{M} = 4\pi M_{co,2} \quad = 4\pi M_{co,2}$$

$$\boxed{\vec{B}_i = \vec{B}_o + \frac{8\pi}{3} \vec{M} \quad \text{homogen}}$$

$$\boxed{\vec{B}(r) = \vec{B}_o + \frac{3(\vec{m} \cdot \vec{r}) \vec{r} - r^2 \vec{m}}{r^5}}$$

↑ verursacht von freien Strömen im Unendlichen

↑ verursacht von Magnetisierungsstrom $\vec{k}_M(s)$

$\vec{m} = \frac{4\pi R^3}{3} \vec{M}$

verursacht von Magnetisierungsstrom $\vec{k}_M(s)$
auf Kugeloberfläche, d.h. von magnetisierter Kugel

$$\vec{H}_i = \vec{B}_i - 4\pi \vec{M} = \vec{B}_o - \frac{4\pi}{3} \vec{M}$$

Nun Fallunterscheidung nötig:
homogen

Dia- oder paramagnetische Kugel

$$MG: \quad \vec{B}_i = \mu \vec{H}_i \quad 1) \text{ linear}$$

2) eindeutig

$$\Rightarrow \vec{B}_o + \frac{8\pi}{3} \vec{M} = \mu (\vec{B}_o - \frac{4\pi}{3} \vec{M})$$

$$\vec{M}[\vec{B}_o]: \quad \begin{cases} \vec{M} = \frac{3}{4\pi} \frac{\mu-1}{\mu+2} \vec{B}_o & \mu < 1 \text{ dia-} \\ & \mu > 1 \text{ para-} \end{cases} \quad (68)$$

$$\vec{m}[\vec{B}_o]: \quad \vec{m} = \frac{\mu-1}{\mu+2} R^3 \vec{B}_o \quad (*)$$

$$\vec{B}_i = \frac{3\mu}{\mu+2} \vec{B}_o \quad * \quad \vec{H}_i = \frac{3}{\mu+2} \vec{B}_o$$

$$\vec{B}_a(r) = \vec{B}_o + \frac{3(\vec{m} \cdot \vec{r})\vec{r} - r^2 \vec{m}}{r^5} \quad \text{mit } \vec{m} \text{ Gl. (*)}$$

Bei "Zurücknehmen" von \vec{B}_o auf null
wird $\vec{M} = \vec{0}$ und $\vec{B} = \vec{0}$ im ganzen Raum.

1) komplizierte nichtlineare Funktion; experimentell:

"Magnetisierungskurve"

- 2) für gegebenes H_i gibt es i.a. zwei Werte von B_i (und umgekehrt),
welcher Wert zu nehmen ist, hängt von der "Vorgeschichte" (Vergangenheit)
der Probe ab: "Magnetisierungskurve"
zeigt "Hysteresis"

(66):

$$\begin{aligned} \vec{B}_i &= \vec{B}_o + \frac{8\pi}{3} \vec{M} && \text{Elimination} \\ \vec{H}_i &= \vec{B}_o - \frac{4\pi}{3} \vec{M} \quad | \cdot 2 && \text{von } \vec{M} \end{aligned} \quad (69)$$

$$MG: \quad \vec{B}_i = \vec{B}_i(H_i) \quad \Rightarrow$$

$$\vec{B}_i + 2\vec{H}_i = 3\vec{B}_o$$

\vec{B}_i, H_i zu gegebenem \vec{B}_o :

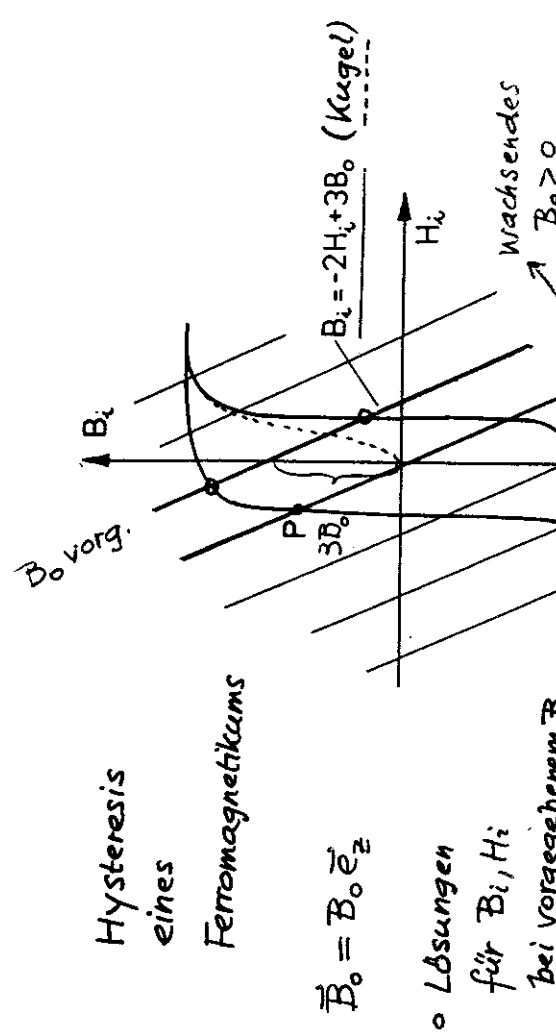
zwei Lösungspaare, von denen je nach
"Vorgeschichte" das eine oder das
andere zu nehmen ist!

$$*) \quad \vec{B}_i = \frac{3}{1+\frac{2}{\mu}} \vec{B}_o$$

Hat man das zu gegebenem \vec{B}_o gebringe

\vec{B}_i (und H_i), so kann man das zu \vec{B}_o gehörige
 \vec{M} z.B. aus $\frac{8\pi}{3} \vec{M} = \vec{B}_i - \vec{B}_o$ berechnen.

XII - 40



Hysteresis
eines
Ferromagnetikums

$$\vec{B}_o = B_o \vec{e}_z$$

- Lösungen für B_i, H_i bei vorgegebenem B_o

Bei "Zurücknehmen" von \vec{B}_o auf $\vec{B}_o = \vec{0}$ bleibt eine Restmagnetisierung und ein zeugbringer Magnetfeld \vec{B}, H . Liest man beispielsweise zuerst in $\vec{B}_o = B_o \vec{e}_z$, $B_o > 0$ anwachsen und dann auf $B_o = 0$ zurückgehen, so landet man im Punkt P der Hysteresiskurve.

XII - 39

XII.4. Nichtleitende magnetisierbare

Materie mit linearer Materialgleichung:
 magnetostatische Energie und Kraftdichte

Materie soll isotrop sein, kann aber inhomogen sein:

$$MG: \quad \vec{B}(r) = \mu(r) \vec{H}(r)$$

Für nichtleitende Materie gilt im Bereich der Materie

$$\text{rot } \vec{H}(r) = \vec{0} \Rightarrow \vec{H}(r) = -\text{grad } \phi_H(r)$$

XII.4.A, XII.4.B: Vollkommen analog zur Elektrostatisik!

$$W = \frac{1}{8\pi} \int d^3r \vec{E}(r) \cdot \vec{D}(r) = \frac{1}{8\pi} \int d^3r \frac{\vec{D}^2(r)}{\epsilon(r)} \rightarrow$$

$$W = \frac{1}{8\pi} \int d^3r \vec{H}(r) \cdot \vec{B}(r) = \frac{1}{8\pi} \int d^3r \frac{\vec{B}^2(r)}{\mu(r)} \quad (72)$$

$$\delta W = \int d^3r \phi(r) \delta \rho(r) - \frac{1}{8\pi} \int d^3r \vec{E}^2(r) \delta \epsilon(r) \rightarrow$$

$$\delta W = -\frac{1}{8\pi} \int d^3r \vec{H}^2(r) \delta \mu(r) \quad (74)$$

XIII. ELEKTROTECHNIK: LINEARE STROMKREISE

MIT OHMSCHEN WIDERSTÄNDEN, KONDENSATOREN, INDUKTIONSSPULEN UND SPANNUNGSGESELLEN

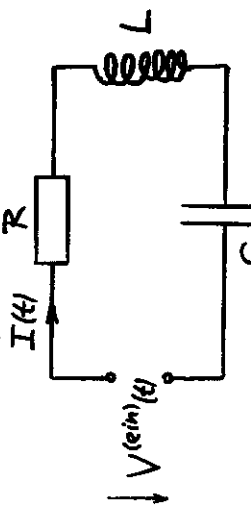
IM QUASISTATIONÄREN FALL

FRAGE: Wie kommt man von

$$\begin{aligned} \text{FG: } & \text{div } \vec{D}(r,t) = 4\pi\rho(r,t) \\ & \text{div } \vec{B}(r,t) = 0 \\ & \text{rot } \vec{E}(r,t) = -\frac{1}{c} \frac{\partial \vec{B}(r,t)}{\partial t} \\ & \text{rot } \vec{H}(r,t) = \frac{4\pi}{c} \vec{j}(r,t) + \frac{1}{c} \frac{\partial \vec{D}(r,t)}{\partial t} \end{aligned}$$

$$\begin{aligned} \text{MG: } & \vec{D}(r,t) = \epsilon \vec{E}(r,t) \\ & \vec{H}(r,t) = \frac{1}{\mu} \vec{B}(r,t) \\ & \vec{j}(r,t) = \sigma \vec{E}(r,t) \end{aligned}$$

für den einfachen Stromkreis



"allgem. Ohmsches Gesetz"

$$RI(t) + L \frac{dI(t)}{dt} + \frac{1}{C} \int_{t_0}^t I(\tau) d\tau = V(reim)(t)$$

auf

Bezüglich des Maxwellischen Spannungstensors

$\overleftrightarrow{T}_{(\text{mat})}(r)$ in der Magnetostatik für
isotrope inhomogene Materie ($\mu = \mu(r)$)
gilt ein analoger Kommentar wie bei den
Dielektrika.

Magnetostriktion

$$\vec{f}(r) = \rho \vec{E}(r) - \frac{1}{8\pi} \vec{E}^2(r) \text{grad } \epsilon(r) + \frac{1}{8\pi} \text{grad} (\vec{E}^2(r) \frac{d\epsilon}{d\sigma}(r) \sigma(r))$$

$$\downarrow$$

$$\vec{f}(r) = -\frac{1}{8\pi} \vec{H}^2(r) \text{grad } \mu(r) + \frac{1}{8\pi} \text{grad} (\vec{H}^2(r) \frac{d\mu}{d\sigma}(r) \sigma(r)) \quad (77b)$$